

九大 工学部 正員 横東一郎
 " " " 小林 利光
 " " " 荒田 敏彦
 " 大学院 学生員 神谷 誠一郎

I. 緒言

一様等方性乱流に関する研究は多くあるが、実際に我々が出会う現象は、温度や濃度による密度勾配を持つより複雑な流れである。その勾配は乱流構造に大きな変化をきたし、それらの構造の解明は、種々の混合現象把握の基礎を成すものである。

今回、2方向ホットフィルム及び塩分濃度計を用いて、流れ方向、鉛直方向流速と濃度変動の同時測定を行い、乱流特性量に関する若干の知識を得た。その結果、密度流における乱流場の構造や拡散過程がかなり明らかになったのでここに報告する。

II. 実験概要とデータの解析

実験は右図木路を用い、静止塩水上を水平に淡水が噴出する二次元密度噴流モデル²を行った。測定は、噴出口端から5, 10, 15, 30, 60cm の各断面²、各々9~5卓を測卓とし、統計処理に際しては、サンプリング間隔を△t=1/150秒とし、各測卓27.3秒(データ個数N=4096個)のデータを用いた。なお、測定用アーレーの先端は、ホットフィルムセンサーと塩分濃度計の中心間隔は約3mmで、ほぼ同一卓と見なされる。

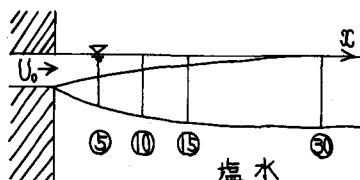
III. 流程による諸量の推移

図-2, 3に見られる通り、塩水面とせん断応力による乱れの発生及び、その減衰と一緒に化が、予想されるように乱流場に矛盾なく描かれていた。鉛直方向乱れ強度 $\overline{u^2}$ 、濃度変動 $\overline{C^2}$ 、乱小拡散量 $\overline{-PC}$ 、 $\overline{-PC}$ も同様の形状を示す。また、レイノルズ応力がピーク値を持つ点は、各断面共その平均流速分布の最大勾配点とよく一致する。

IV. 乱れ諸量及び拡散量とリチャードソン数について

成層流の安定度に関する無次元量 $R_i = -g(\partial \rho / \partial z) / (\rho_0 g z)$

図-4の流れ方向乱れと鉛直方向乱れとの比を図-4に示す。(図中実線は我々のデータの傾向線²以下同様) 図より明らかに、 R_i の増加に伴って $\overline{u^2}$ が減少、つまり流れ方向乱れに対する鉛直方向乱れが抑えられ、非等方



実験条件
 密度差 $\epsilon = 0.004$ 噴出口幅 $B_s = 2\text{cm}$
 淡水初期流速 $U_0 = 10.0 \text{ cm/sec}$
 内部フレード数 $F_i = U_0 \sqrt{\epsilon B_s} = 3.57$
 淡水温 10.8°C , 塩水温 10.5°C

Fig-1

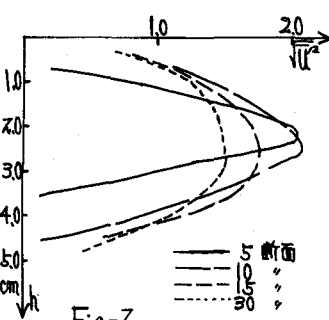


Fig-2

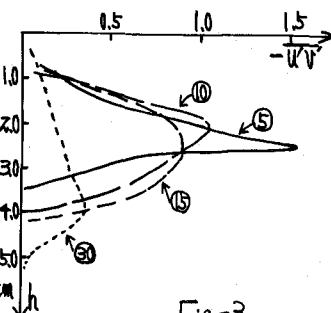


Fig-3

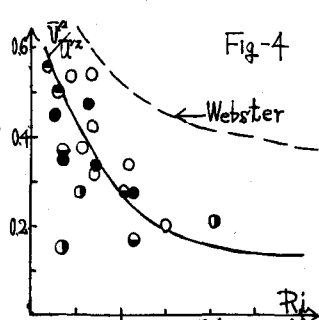


Fig-4

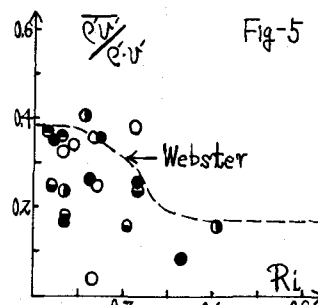


Fig-5

性が顕著になる。図-5には鉛直方向の拡散量: \bar{P}_{VY} と R_f との関係を示すが、 R_f も増加するのに相対して拡散量も減少する。また流れ方向と鉛直方向の拡散が同程度である輸送構造が、流れ方向拡散に片よる構造に移行する様子が図-6によく示されている。

V. 湍動粘性係数: K_M と湍動拡散係数: K_H の R_f に対する変化

図-7によれば、湍動拡散係数: K_H ($\bar{P}_{VY} = K_H d \bar{P}_{VY}$) は、 R_f とともに一義的な関係を示し、 R_f による変化も可能存続に思われる。一方で、湍動粘性係数: K_M ($\bar{U}_{VY} = K_M d \bar{U}_{VY}$) は、 R_f による一応の減少傾向は示すものの、かなりばらつきが見られ、その減少率 K_M に比して緩慢である。よって R_f 以外の規定量の導入も考えねばならぬ事だ。まことに K_H/K_M の変化を図-9に示す。

VI. 乱流場モデルと拡散過程

以上の二つから判明した乱流場とて、(1)チャードソン数及の増加(成層の安定化)に伴う、(2)鉛直方向の乱れが抑えられ、平らな非等方性乱流場となる。従って鉛直方向拡散も抑えられ、流れ方向の拡散に大きく依存する拡散構造となる。各図中に示す

す漏流に対する Webster (1964) の結果との比較では、必ずしも我々の結果の方が急激な減少を示している。これは、木表面の存在で鉛直方向の運動が全体的に抑えられるからである。乱れの発達段階によると思われる。

VII. Ellison の破壊時間について

Ellison は N-S 方程式、連続の方程式、熱伝導の方程式から、 \bar{P}_x^2 , \bar{q}^2 , \bar{P}_{VY}^2 に対する、その破壊時間 T_x , T_q , T_{VY} を導入することにより、以下の方程式を示す。

$$\frac{1}{T_x} \left(\frac{\bar{P}_x^2}{z} + \bar{P}_{VY} \frac{d\bar{P}}{dy} \right) = 0, \quad \frac{1}{T_q} \left(\frac{\bar{q}^2}{z} + \bar{U}_{VY} \frac{d\bar{U}}{dy} + \frac{g}{\rho} \bar{P}_{VY} \right) = 0, \quad \frac{1}{T_{VY}} \left(\bar{P}_{VY}^2 + \bar{U}_{VY} \frac{d\bar{P}}{dy} + \frac{g}{\rho} \bar{P}^2 \right) = 0$$

この考え方で、求めた T_x/T_q を図-10に示す。その結果、Ellison の予想と様に、 R_f に関係なく、ほぼ $T_x/T_q \approx 1$ を示している。(Websterの結果は、 R_f に依存し、 $R_f = 0.2$ 时 $T_x/T_q \approx 0.45$) つまり密度変動と乱れエネルギーは、ほぼ同じペースで破壊されると考えられる。

また Ellison は $K_H/K_M = 0$ となる flux form a Richardson 数: R_f の限界値と 1 と $R_{f,mt} = 0.15$ を導いており、我々の実験では $R_{f,mt}$ を決定するには多少データが必要である。(図-11)

VIII. 最後に

その他、相関やスペクトル解析を行ったのを講演時に参考にして。なお、実験上際、厚部生佐々木君に多大な協力を頼み、感謝を表す。

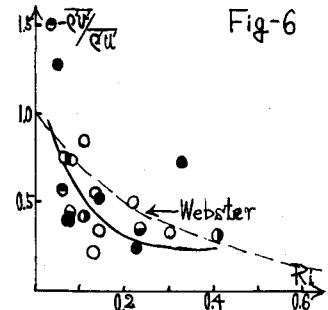


Fig-6

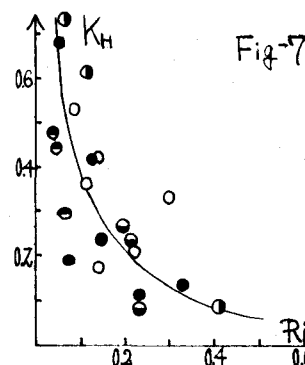


Fig-7

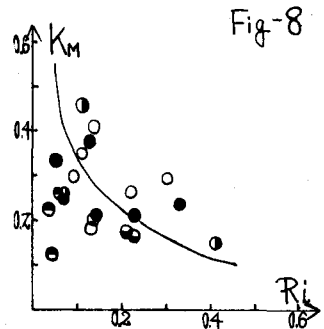


Fig-8

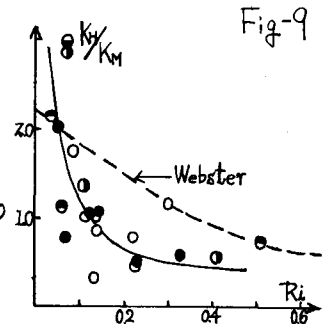


Fig-9

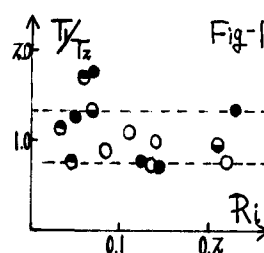


Fig-10

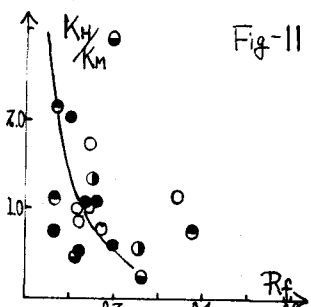


Fig-11